

МАТЕМАТИЧЕСКАЯ МОДЕЛЬ ДВИЖЕНИЯ ЛЕНТЫ В СТРИМЕРАХ ПРИ НАЛИЧИИ ПЕРЕКОСА И НЕРАВНОМЕРНОСТИ СКОРОСТИ ЕЁ ТРАНСПОРТИРОВАНИЯ

© 2011 В. Е. Лялин, В. П. Тарануха

Ижевский государственный технический университет

Получено решение двумерной граничной задачи колебания магнитной ленты без учёта ее массы. В отличие от ранее используемых управлений учтены скорость протягивания магнитной ленты и ее проскальзывание при входе на свободный участок.

Перекас ленты, стримеры, механизм транспортирования ленты.

Увеличение продольной и поперечной плотности записи информации на магнитной ленте (МЛ) требует существенного улучшения динамических характеристик механизмов транспортирования ленты (МТЛ), применяемых в ленточных накопителях информации (стримерах). Многочисленными исследованиями установлены закономерности образования временных искажений информации по одной дорожке, когда МЛ рассматривается как упругая нить. Модель МЛ в виде двумерной среды позволяет описать другой вид искажений – динамические перекосы, т.е. временные рассогласования между различными дорожками, что особенно важно для стримеров с широкими МЛ (8 мм и более). Теоретическое исследование упругих деформаций, приводящих к перекосам, приведено в работах [1, 2], ряд работ посвящён экспериментальным исследованиям. Однако применение полученных в [1, 2] результатов на практике затруднено неадекватностью граничных условий, т.к. реально в точках контакта МЛ с ведущими валами задаются линейные скорости, а не напряжения, как указано в работах [1, 2]. В работе [3] представлено уточнение волновых свойств МЛ с учётом ее ширины, хотя поправки, получаемые с учётом инерциальных свойств МЛ, в целом незначительны и ими на практике пренебрегают. Поэтому в настоящей работе приводится решение задачи о плоском напряжённом состоянии МЛ, на двух краях которой заданы скорости перемещения, а два других свободны.

Как показано в работе [4], плоская задача движения МЛ между двумя вращающимися с заданной скоростью валами имеет вид

$$\left. \begin{aligned} \frac{\partial^2 U_x}{\partial x \partial y} + b \frac{\partial^2 U_y}{\partial x^2} + a \frac{\partial^2 U_y}{\partial y^2} &= 0, \\ \frac{\partial^2 U_y}{\partial x \partial y} + a \frac{\partial^2 U_x}{\partial x^2} + b \frac{\partial^2 U_x}{\partial y^2} &= 0, \end{aligned} \right\} \quad (1)$$

$$\left. \begin{aligned} V_x(-l, y, t) - V_0 \Theta(-l, y, t) &= \bar{V}_x(y, t) - V_0 \bar{\Theta}(y, t), \\ V_y(-l, y, t) &= \bar{V}_y(y, t), \end{aligned} \right\} \quad (2)$$

$$\left. \begin{aligned} V_x(l, y, t) &= \bar{\bar{V}}_x(y, t), \\ V_y(l, y, t) &= \bar{\bar{V}}_y(y, t), \end{aligned} \right\} \quad (3)$$

$$\left. \begin{aligned} \sigma_{yy}(x, y, t) &= 0 \\ \sigma_{xy}(x, y, t) &= 0, \end{aligned} \right\} \text{ при } \begin{cases} y = 0, \\ y = H, \end{cases}$$

где $U_x = U_x(x, y, t)$, $U_y = U_y(x, y, t)$ – перемещения, V_x , V_y – абсолютные скорости, Θ – относительная объёмная деформация МЛ в неподвижной системе координат, σ_{yy} , σ_{xy} – напряжения, λ , μ – коэффициенты Ляме, V_0 – скорость перемещения МЛ (номинальная), $2l$, H – геометрические размеры отрезка МЛ, \bar{V}_x , $\bar{\bar{V}}_x$, \bar{V}_y , $\bar{\bar{V}}_y$, $\bar{\Theta}$ – заданные на границах абсолютные скорости и относительная объёмная деформация,

$$a = 4(\lambda + \mu)(3\lambda + 2\mu)^{-1},$$

$$b = (\lambda + 2\mu)(3\lambda + 2\mu)^{-1} \text{ (рис. 1).}$$

Выражая напряжения, абсолютные скорости, относительную объёмную деформацию через перемещения

$$\left. \begin{aligned} V_x &= \frac{\partial U_x}{\partial t} + V_0 \frac{\partial U_x}{\partial x}, & V_y &= \frac{\partial U_y}{\partial t} + V_0 \frac{\partial U_y}{\partial x}, \\ \Theta &= 2\mu(\lambda + 2\mu)^{-1} \left(\frac{\partial U_x}{\partial x} + \frac{\partial U_y}{\partial y} \right), \\ \sigma_{yy} &= 2(\lambda + \mu) \frac{\partial U_y}{\partial y} + \lambda \frac{\partial U_x}{\partial x}, & \sigma_{xy} &= \mu \left(\frac{\partial U_y}{\partial x} + \frac{\partial U_x}{\partial y} \right) \end{aligned} \right\} \quad (5)$$

и исключив из (1) одну из неизвестных функций, например U_x , получим

$$U_x(x, y, t) = -a \int \frac{\partial U_y}{\partial y} dx - b \int \frac{\partial U_y}{\partial x} dy - f_x(x, t) - f_y(y, t) - f_t(t), \quad (6)$$

где f_x, f_y, f_t – неизвестные функции – постоянные интегрирования.

Таким образом, краевая смешанная задача (1)...(4) принимает вид

$$\frac{\partial^4 U_y}{\partial x^4} + 2 \frac{\partial^4 U_y}{\partial x^2 \partial y^2} + \frac{\partial^4 U_y}{\partial y^4} = 0. \quad (7)$$

При $x = -l$:

$$\left. \begin{aligned} b \int \left[\frac{\partial}{\partial x} \left(\frac{\partial U_y}{\partial t} + \alpha_1 \frac{\partial U_y}{\partial x} \right) \right] dy + a \int \left[\frac{\partial}{\partial y} \left(\frac{\partial U_y}{\partial t} + \alpha_1 \frac{\partial U_y}{\partial x} \right) \right] dx + \\ + \frac{\partial f_x}{\partial t} + \alpha_1 \frac{\partial f_x}{\partial x} + \alpha_2 \frac{\partial U_y}{\partial y} + \frac{\partial f_y}{\partial t} + \frac{\partial f_t}{\partial t} = -(\bar{V}_x - V_0 \bar{\Theta}), \\ \frac{\partial U_y}{\partial t} + V_0 \frac{\partial U_y}{\partial x} = \bar{V}_y, \end{aligned} \right\} \quad (8)$$

при $x = l$:

$$\left. \begin{aligned} b \int \left[\frac{\partial}{\partial x} \left(\frac{\partial U_y}{\partial t} + V_0 \frac{\partial U_y}{\partial x} \right) \right] dy + a \int \left[\frac{\partial}{\partial y} \left(\frac{\partial U_y}{\partial t} + V_0 \frac{\partial U_y}{\partial x} \right) \right] dx + \\ + \frac{\partial f_x}{\partial t} + V_0 \frac{\partial f_x}{\partial x} + \frac{\partial f_y}{\partial t} + \frac{\partial f_t}{\partial t} = -\bar{V}_x, \\ \frac{\partial U_y}{\partial t} + V_0 \frac{\partial U_y}{\partial x} = \bar{V}_y, \end{aligned} \right\}$$

при $y = 0,$
 $y = H$:

$$\left. \begin{aligned} (a - \gamma) \frac{\partial U_y}{\partial y} + b \int \frac{\partial^2 U_y}{\partial x^2} dy + \frac{\partial f_x}{\partial x} = 0, \\ (b - 1) \frac{\partial U_y}{\partial x} + a \int \frac{\partial^2 U_y}{\partial y^2} dx + \frac{\partial f_y}{\partial y} = 0, \end{aligned} \right\} \quad (9)$$

где $\alpha_1 = V_0 \lambda (\lambda + 2\mu)^{-1}$, $\alpha_2 = 2V_0 \mu (\lambda + 2\mu)^{-1}$, $\gamma = (\lambda + 2\mu) \lambda^{-1}$.

Используя методы разложения неизвестных и заданных функций в ряды Фурье на отрезке $y \in [0, H]$ и удовлетворяя условиям (8), (9), ищем решение задачи в виде монохроматических колебаний с произвольной частотой ω_0 :

$$\left. \begin{aligned} U_y(x, y, t) &= e^{i\omega_0 t} \left[\sum_{k=1}^{\infty} U_{jk}(x) \sin \lambda_k y + \bar{U}_y(x, y) \delta(y) + \bar{U}_y(x, y) \delta(y - H) \right], \\ f_x(x, t) &= e^{i\omega_0 t} \bar{f}_x(x), \\ f_y(y, t) &= e^{i\omega_0 t} \left(f_{y0} + \sum_{k=1}^{\infty} f_{yk} \cos \lambda_k y \right), \\ f_t(t) &= A e^{i\omega_0 t}, \end{aligned} \right\} \quad (10)$$

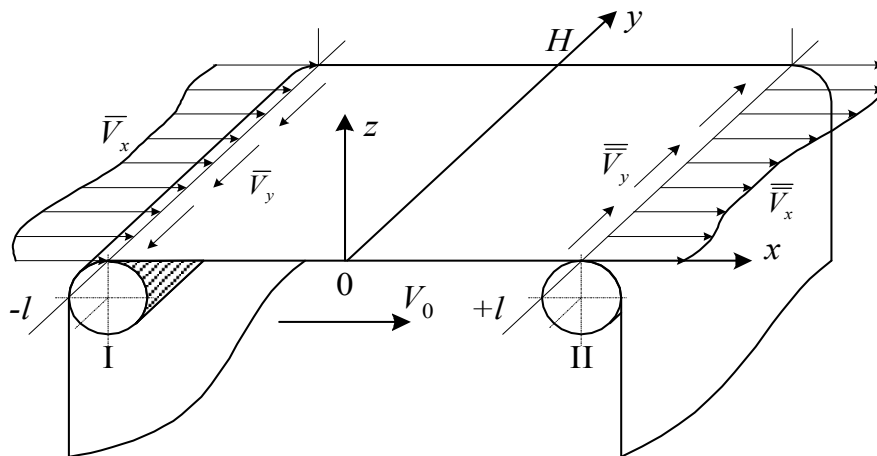


Рис. 1. Система координат и граничные условия

где $\lambda_k = k\pi H^{-1}$, $i = \sqrt{-1}$, f_{y0} , f_{yk} , U_{yk} , \bar{U}_y , \bar{f}_x , A_i – комплексные величины и функции, подлежащие определению. Введение δ -функций Дирака в выражения (10) связано с устранением разрывов функций \bar{V}_y , \bar{V}_y в угловых точках при разложении их в ряды Фурье по нечётным функциям. Уравнение (7) будет удовлетворено, если

$$U_{yk}(x) = c_{1k} \operatorname{sh} \lambda_k x + c_{2k} \operatorname{ch} \lambda_k x + c_{3k} x \operatorname{sh} \lambda_k x + c_{4k} x \operatorname{ch} \lambda_k x, \quad (11)$$

где c_{jk} ($j=1, \dots, 4$) – неизвестные постоянные. Подставляя выражения (10), (11) в (7)...(9) и решая уравнения без учета слагаемых, содержащих δ -функции, получим

$$\left. \begin{aligned} \bar{f}_x(x) &= \sum_{k=\text{нечетн}}^{\infty} b\lambda_k^{-1} \frac{\partial U_{yk}}{\partial x} + (y-a)\lambda_k \int U_{yk} dx, \\ f_{y0} &= \bar{V}_x \omega_0^{-1} i - \bar{f}_x(l) + Ri \frac{\partial \bar{f}_x(x)}{\partial x} \Big|_{x=l}, \quad f_{yk} = \bar{V}_{xk} \omega_0^{-1} i, \quad A_i = 0. \end{aligned} \right\} \quad (12)$$

Неизвестные постоянные c_{jk} , входящие в выражение (11), определяем из системы линейных алгебраических уравнений:

$$\begin{aligned} & \begin{vmatrix} (-h_1 th \lambda_k l + h_2) & (h_1 - h_2 th \lambda_k l) & (h_3 th \lambda_k l - h_4) & (-h_3 + h_4 th \lambda_k l) \\ (h_1 - h_2 th \lambda_k l) & (-h_1 th \lambda_k l + h_2) & (h_5 th \lambda_k l - h_1 l) & (-h_5 + h_1 l th \lambda_k l) \\ (h_1 + h_2 th \lambda_k l) & (h_1 th \lambda_k l + h_2) & (h_6 th \lambda_k l + h_1 l) & (h_6 + h_1 l th \lambda_k l) \\ (h_7 th \lambda_k l) & (h_8 th \lambda_k l + h_9) & (h_{10} th \lambda_k l + h_{11}) & (h_{12} th \lambda_k l + h_7 l) \end{vmatrix} \times \\ & \times \begin{vmatrix} \bar{V}_x - \bar{V}_x + V_0 \bar{\Theta} \\ \operatorname{ch} \lambda_k e \\ \bar{V}_{yk} \operatorname{ch}^{-1} \lambda_k e \\ \bar{V}_{yk} \operatorname{ch}^{-1} \lambda_k e \\ \bar{V}_x - \bar{V}_x - V_1 \bar{\Theta} \\ \operatorname{ch} \lambda_n e \end{vmatrix}, \quad (13) \end{aligned}$$

где R – радиус вала,

$$\begin{aligned} h_1 &= V_0 \lambda_k; h_2 = \omega_0 i; h_3 = \omega_0 \lambda_k^{-1} (a+b)i + V_0 l \lambda_k; \\ h_4 &= 2b\alpha_1 + \omega_0 li; h_5 = \omega_0 li - V_0; h_6 = V_0 + h_2 l; \\ h_7 &= (\gamma-1)(V_0 + \alpha_1) \lambda_k; h_8 = 2(\gamma-1)h_2; \\ h_9 &= \lambda_k (\gamma-1)(V_0 - \alpha_1); \\ h_{10} &= 2h_2(a+b-\gamma) \lambda_k^{-1} + h_9 l; \\ h_{11} &= 2b(V_0 - \alpha_1) + h_8 l, h_{12} = 2b(V_0 + \alpha_1). \end{aligned}$$

Откуда находим

$$\begin{aligned} c_{jk} &= (L_{jk}^D \operatorname{ch}^{-1} \lambda_k l) + (L_{jk}^M \operatorname{ch}^{-1} \lambda_k l) i, \\ \text{где } L_{jk}^D &= L_{jk}^D (\bar{V}_{xk}, \bar{V}_{xk}, \bar{V}_{yk}, \bar{V}_{yk}, \bar{V}_{x0}, \bar{V}_{x0}); \\ L_{jk}^M &= L_{jk}^M (\bar{V}_{xk}, \bar{V}_{xk}, \bar{V}_{yk}, \bar{V}_{yk}, \bar{V}_{x0}, \bar{V}_{x0}). \end{aligned}$$

Аналитические выражения коэффици-

ентов L_{jk}^D , L_{jk}^M не приводятся ввиду их громоздкости.

Функции

$$\bar{U}_y(x, y) \delta(y), \quad \bar{U}_y(x, y) \delta(y-H)$$

для упрощения решения задачи определяются приближённо. Введем функцию

$$\tilde{U}_y(x, y) = \sum_k U_{yk}(x) \sin \lambda_k y$$

и, выбирая малое значение $\varepsilon > 0$, определим касательные к \tilde{U}_y в точках $y = 0 + \varepsilon$, $y = H - \varepsilon$ (рис. 2).

Значения касательных в точках $y = 0$, $y = H$ примем за приближённые значения функций $\bar{U}_y(x, y) \delta(y)$ и $\bar{U}_y(x, y) \delta(y-H)$ соответственно. Тогда

$$\left. \begin{aligned} \bar{U}_y(x, y) \delta(y) &\approx \\ &\approx \sum_k U_{yk}(x) \sqrt{1 + \lambda_k^2 \varepsilon^2} \sin(\lambda_k \varepsilon - \arctg \lambda_k \varepsilon) \delta(y), \\ \bar{U}_y(x, y) \delta(y-H) &\approx \\ &\approx \sum_k U_{yk}(x) \sqrt{1 + \lambda_k^2 \varepsilon^2} \sin(\lambda_k (H - \varepsilon) + \arctg \lambda_k \varepsilon) \delta(y-H), \\ U_x(x, y, t) &= \sum_k \left\{ \left[B_{1k} \sin(\omega_0 t + \varphi_{1k}) + \right. \right. \\ &+ F_{2k}(x) \sin(\omega_0 t + \varphi_{2k}(x)) \left. \right] \cos \lambda_k y + \\ &+ F_{3k}(x) \sin(\omega_0 t + \varphi_{3k}(x)) \left. \right] + F_{5k}(x) \sin(\omega_0 t - \varphi_{5k}) \left. \right\}, \\ U_y(x, y, t) &= \sum_k \left\{ \left[\sin \lambda_k y + \sqrt{1 + \lambda_k^2 \varepsilon^2} \left[\sin(\lambda_k \varepsilon - \arctg \lambda_k \varepsilon) \delta(y) + \right. \right. \right. \\ &+ \sin(\lambda_k (H - \varepsilon) + \arctg \lambda_k \varepsilon) \delta(y-H) \left. \right] + \\ &+ F_{4k}(x) \sin(\omega_0 t + \varphi_{4k}(x)) \left. \right\}. \end{aligned} \right\} \quad (14)$$

Входящие в (14) величины B_{1k} , φ_{1k} , F_{5k} , φ_{5k} и функции переменной величины x F_{2k} , φ_{2k} , F_{3k} , φ_{3k} , F_{4k} , φ_{4k} , выраженные через известные параметры задачи и постоянные c_{jk} , не приводятся ввиду громоздкости выражений.

Так как оси вращения валов не совпадают с их геометрическими осями центров, законы изменения линейных скоростей на границах МЛ имеют вид:

$$\begin{aligned} V_x(y, t) &= V_0 [1 + \varepsilon_j(y) R^{-1} \cos(\omega_0 t + \varphi_j(y))], \\ V_y(y, t) &= R \omega_0 \sqrt{a_j(a_j + H^2)^{-1}} \cos(\omega_0 t), \quad (15) \end{aligned}$$

где $j = 1, 2$ – номер вала;

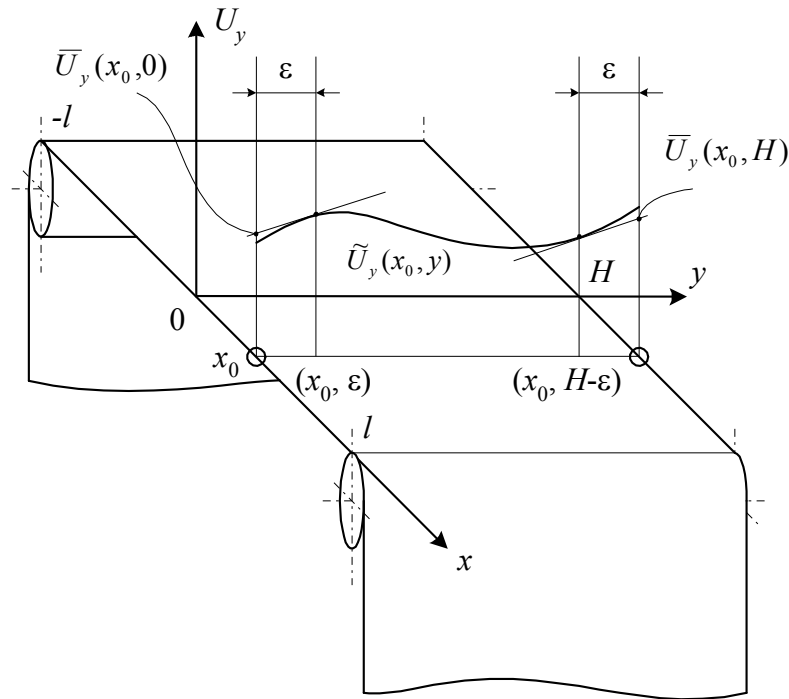


Рис. 2. Приближённое определение функций \bar{U}_y на границах $y=0, y=H$

$a_j = \varepsilon_{jH}^2 + \varepsilon_{jk}^2 - 2\varepsilon_{jH}\varepsilon_{jk} \cos \varphi_{jk}$, $\varepsilon_j(y)$,
 $\varphi_j(y)$ – изменение эксцентриситета и угла его поворота вдоль оси y ; ε_{jH} , ε_{jk} , φ_{jk} – начальное и конечное значения эксцентриситета и угла поворота. Считая, что изменение относительной деформации в зоне проскальзывания первого вала целиком зависит от относительного удлинения МЛ в направлении оси y , прием

$$\Theta(y, t) = 2\mu(\lambda + 2\mu)^{-1} \varepsilon_1(y)(2l)^{-1} \sin(\omega_0 t + \varphi_1(y)). \quad (16)$$

В дальнейшем, для примера, не учитывая движения МЛ вдоль оси и принимая $\varepsilon_2(y) = \varepsilon_{2H} - (\varepsilon_{2H} - \varepsilon_{2k})H^{-1}y$, $\varepsilon_1(y) = \varepsilon_0$, получим граничные условия (2)–(3) в виде

$$\left. \begin{aligned} V_x(-l, y, t) - V_0 \Theta(-l, y, t) &= \\ &= V_0 [1 + \varepsilon_0 R^{-1} \cos(\omega_0 t + \varphi_1(y))] - \\ &- V_0 \mu \varepsilon_0 l^{-1} (\lambda + 2\mu)^{-1} \sin(\omega_0 t + \varphi_1(y)), \\ U_y(-l, y, t) &= 0, \\ V_x(l, y, t) &= \\ &= V_0 [1 + (\varepsilon_{2H} - (\varepsilon_{2H} - \varepsilon_{2k})H^{-1}y) R^{-1} \cos(\omega_0 t + \varphi_2(y))], \\ U_y(l, y, t) &= 0. \end{aligned} \right\} \quad (17)$$

Результаты расчётов, выполненных на компьютере, при значениях $\varphi_1(y) = \pi y(2H)^{-1}$, $\varphi_2(y) = \pi y(3H)^{-1}$, $R_1 = R_2 = 13 \cdot 10^{-3} \text{ м}$, $V_0 = 0,76 \text{ м} \cdot \text{с}^{-1}$, $H = 25 \cdot 10^{-3} \text{ м}$, $l = 0,25 \text{ м}$, $\varepsilon_0 = \varepsilon_{2H} = 10^{-5}$, $\varepsilon_{2k} = 5 \cdot 10^{-6}$, $\lambda = 2596,153 \cdot 10^{-6} \text{ Нм}^{-2}$, $\mu = 1730,769 \cdot 10^{-6} \text{ Нм}^{-2}$ приведены на рис. 3, 4, 5. Найденные значения U_x в зависимости от y фактически дают значения амплитуд и фаз перекосов, выраженных в линейных единицах. Нормируя U_x средней скоростью V_0 , легко перейти к временным единицам, более привычным в инженерных расчётах.

Анализ результатов расчётов позволяет сделать следующие выводы:

1. При значениях параметров, близких к реальным, разложения решений в ряды Фурье сходятся достаточно быстро.
2. Зависимость распределения амплитуд перекосов по ширине МЛ мало отличается от линейной при отсутствии смещений по оси y .
3. Влияние граничных условий на входе и выходе рассматриваемого участка МЛ не

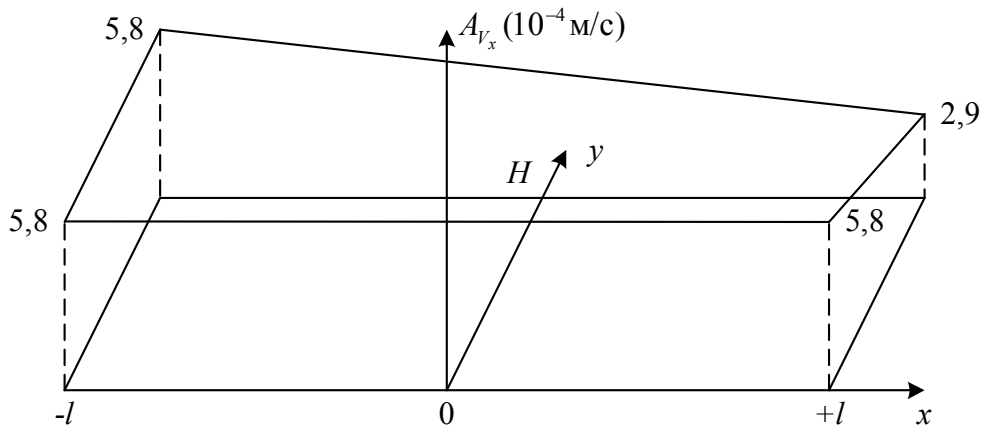


Рис. 3. Изменение амплитуды скорости V_x около номинальной V_0

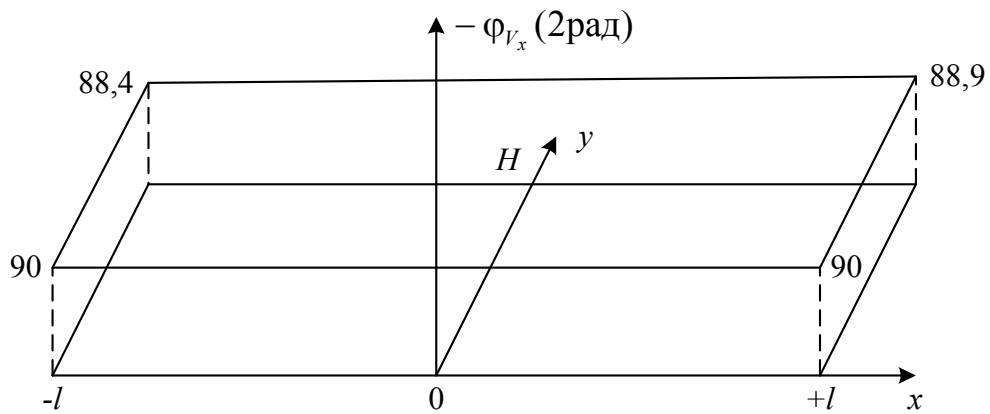


Рис. 4. Изменение фазы скорости V_x

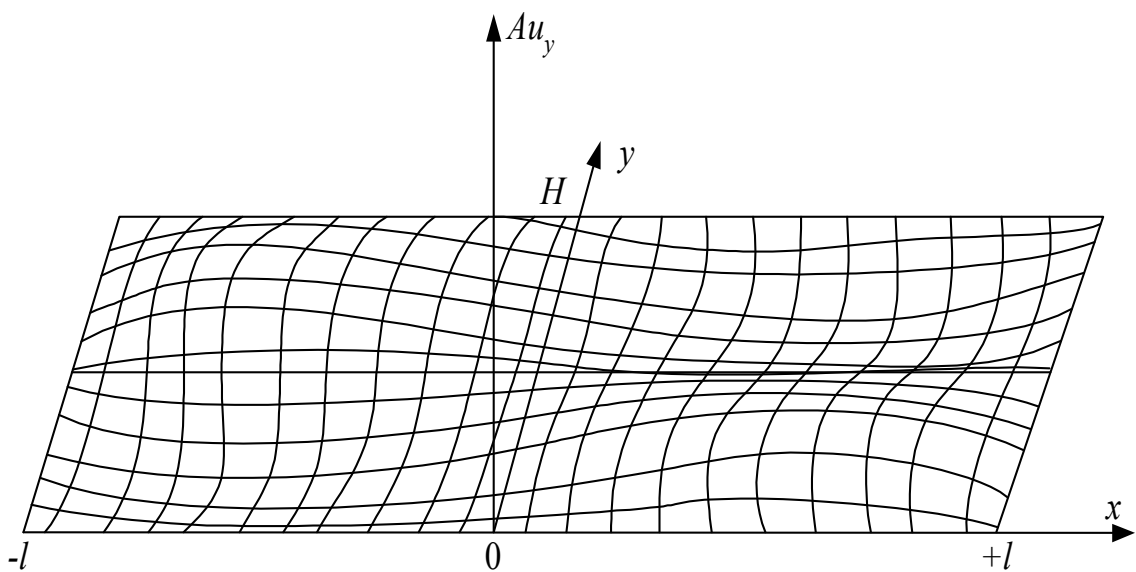


Рис. 5. Изменение амплитуды перемещений V_y ($\max |Au_y| = 3,8 \cdot 10^{-4}$ м)

одинаково и совпадает при равной нулю номинальной скорости протягивания МЛ.

4. Полученные результаты дают основание для применения к данному типу задач приближенных методов, основанных на разложениях по системам ортогональных функций (проекционные методы).

Библиографический список

1. Варнаускас, П. А. Методы и средства экспериментальных исследований динамики прецизионных лентопротяжных механизмов [Текст] / П. А. Варнаускас, А. И. Куртинайтис, К. М. Рагульскис. – Вильнюс: Мокслас, 1982. – 104 с.

2. Рагульскис, К. М. Динамика прецизионных лентопротяжных механизмов [Текст] / К. М. Рагульскис, Е. В. Лялин, П. А. Варнаускас и др. – Вильнюс: Мокслас, 1984. – 171 с.

3. Норенков, И. П. Телекоммуникационные технологии и сети [Текст] / И. П. Норенков, В. А. Трудоношин. – М.: Изд-во МГТУ им Н. Э. Баумана, 2000. – 248 с.

4. Захаров, В. Г. Уточненная динамическая модель пространственных колебаний магнитных лент [Текст] / В. Г. Захаров, С. П. Севенко. – Техника средств связи. Серия «Общетехническая», 1982.- № 2 (14). – С. 39–43.

MATHEMATICAL MODEL OF MOVEMENT OF THE TAPE IN STREAMERS IN THE PRESENCE OF THE WARP AND NON-UNIFORMITY OF SPEED OF ITS TRANSPORTATION

© 2011 V. E. Ljalin, V. P. Taranuha

Izhevsk state technical university

Obtained a solution for two-dimensional boundary task of magnetic tape oscillations without considering its mass. In contrast to the previously used controls, the speed of tape pulling and its slip at the entrance to a free area are taken into account.

A tape warp, streamers, the mechanism of tape transportation.

Информация об авторах

Лялин Вадим Евгеньевич, заведующий кафедрой, д.т.н., д.э.н., профессор, интеллектуальные информационные технологии, Ижевский государственный технический университет. E-mail: velyalin@mail.ru. Область научных интересов: информационно-телекоммуникационные системы.

Тарануха Владимир Прокофьевич, заведующий кафедрой, к.т.н., доцент, конструирование радиоэлектронной аппаратуры, Ижевский государственный технический университет. E-mail: velyalin@mail.ru. Область научных интересов: системы и устройства хранения данных.

Lyalin Vadim Evgenievich, head of department, professor, PhD, intelligent information technology, Izhevsk State Technical University. E-mail: velyalin@mail.ru. Research interests: information and telecommunications systems.

Taranukha Vladimir Prokof'evich, head of department, Ph.D., associate professor, design of electronic equipment, Izhevsk State Technical University. E-mail: velyalin@mail.ru. Research interests: systems and storage devices.